



## ارزیابی مدل های خشک شدن لایه نازک برای توصیف سیستمیک خشک کردن زرشک (۱۴۹)

مرتضی آغاشلو<sup>۱</sup>، محمدحسین کیانمهر<sup>۲</sup>، اکبر محمد عرب حسینی<sup>۳</sup>، حامد مهرآور<sup>۴</sup>، هادی صمیمی اخیجهانی<sup>۵</sup>

### چکیده

زرشک به عنوان یک گیاه داروئی و زیستی در دنیا شناخته شده است. میوه زرشک بی دانه برای درمان سرطان کبد، معده، تصفیه خون و خوشبو کردن دهان استفاده می شود. به منظور ارزیابی و انتخاب مدل مناسب جهت روند خشک شدن زرشک به روش لایه نازک، شش مدل نیمه تئوری و یا تجربی با داده های آزمایشگاهی برآورد شد. آزمایشات در سه دمای ۵۰ و ۶۰ و ۷۰ درجه سانتیگراد و سه سرعت ۱/۵، ۱ و ۲ متر بر ثانیه انجام شد. از بین مدل های برآورد شده، مدل پیچ به عنوان بهترین مدل ریاضی با توجه به معیار های  $R^2$ ،  $\chi^2$  و RMSE انتخاب شد. ثابت های مربوط به مدل پیچ در مقابل شرایط هوایی داغ با توجه به آنالیز رگرسیونی غیر خطی تحلیل گردید.

**کلیدواژه:** زرشک، خشک شدن، لایه نازک، مدل پیچ

- 
- ۱- دانشجوی کارشناسی ارشد مکانیک ماشین های کشاورزی، پردیس ابوریحان، دانشگاه تهران، پست الکترونیک: maghbashlo@ut.ac.ir  
۲- استادیار گروه مکانیک ماشین های کشاورزی، پردیس ابوریحان، دانشگاه تهران  
۳- استادیار گروه مکانیک ماشین های کشاورزی، پردیس ابوریحان، دانشگاه تهران  
۴- دانشجوی کارشناسی ارشد مکانیک ماشین های کشاورزی، پردیس ابوریحان، دانشگاه تهران  
۵- دانشجوی کارشناسی ارشد مکانیک ماشین های کشاورزی، پردیس ابوریحان، دانشگاه تهران



## مقدمه:

خشک کردن قدیمی ترین روشی است که برای نگهداری مواد غذایی استفاده شده است. انسانهای اولیه دریافتند که بعد از رسیدن محصول، دانه های که بطور طبیعی روی ساقه خشک می شوند قابل استفاده خواهند بود. در زمانهای قدیم نور خورشید برای خشک کردن محصولات کشاورزی استفاده می شد اما مشکلات زیادی در استفاده از این روش وجود داشت، از جمله تعییرات نامطلوب در کیفیت مواد غذایی و فقدان کنترل کافی در طول دوره خشک کردن. استفاده از فن آوریهای جدید برای پرسه خشک کردن را ضروری می سازد. زرشک تازه به رنگ قرمز شن و تخم مرغی شکل بوده و به صورت خوش از ساقه آویزان است، که با از دست دادن رطوبت به رنگ قهوه ای یا سیاه تعییر می یابد [۱]. زرشک حاوی اسیدهای آلی و ترکیبات فنولی شامل آنتوسیانین و رنگدانه های کارتوئید و همچنین فنولاز، پلی فنولاز و آنزیمهای گلیکوسیداز می باشد. میوه بسته امده از درخت زرشک برای درمان سرطان کبد، معده، تصیفه خون و خوشبو کردن دهان استفاده می شود [۲]. زرشک بی دانه یکی از محصولات با غی شرق ایران و با سطح زیر کشت ۶۰۰۰ هزار هکتار و تولید سالیانه ۲۲۰۰۰ هزار تن می باشد و عمدتاً به صورت خشک به بازار عرضه می گردد. مدلهای شبیه سازی شده از پرسه های خشک کردن برای طراحی دستگاه های جدید، بهبود سیستم های موجود یا حتی برای کنترل خشک کنها استفاده می شود [۳]. بنابراین، ویژگیهای فیزیکی و حرارتی محصولات کشاورزی مانند انتقال جرم و حرارت، دیفیوژن، ضربیب هدایت حرارتی و گرمایی ویژه برای طراحی یک خشک کن جدید مورد نیاز است.

به خشک شدن دانه ها تحت شرایط ثابت دمایی و رطوبتی به صورت تک لایه گسترش خشک کردن به روش لایه نازک گویند [۴]. محققین زیادی سینتیک خشک کردن محصولات کشاورزی را جهت یافتن بهترین مدل ریاضی برای توصیف سینتیک خشک شدن آن ها بررسی کرده اند، مثل خشک شدن انجیر هندی با خشک کن خورشید [۵]، خرما [۶]، تکه های انبه [۷] [انجیر] [۸]، تکه های سیب زمینی [۹]، پوست کجد [۱۰] و برنج مالزیایی [۱۱]. هر چند تحقیقات زیادی در مورد مدل کردن به روش لایه نازک برای محصولات مختلف (میوه ها، دانه ها و سبزیجات) انجام پذیرفته است، اما اطلاعات کمی درباره خشک شدن یک گیاه داروئی مانند زرشک وجود دارد. هدف اصلی این تحقیق، انتخاب بهترین مدل ریاضی و شرایط هوای داغ برای خشک کردن زرشک به منظور طراحی و بهینه سازی (زمان خشک شدن و مصرف انرژی) یک سیستم جدید می بشد.

## مواد و روشها

### آماده سازی نمونه ها

زرشک تازه از کشاورزان محلی شهرستان بیرون گردید واقع در استان خراسان تهیه شده و در فریز با دمای  $-5^{\circ}\text{C}$  سانتیگراد برای اجرای آزمایشات نگهداری شد. زرشکهای نرسیده و فاسد به طور دستی جدا شدند. محتوی رطوبت اولیه زرشکها با استفاده از روش آون داغ تعیین گردید. از نمونه های  $20 \pm 2$  درجه سانتیگراد به مدت  $4$  ساعت، برای تعیین محتوای رطوبتی استفاده شد. نتایج نشان داد که رطوبت اولیه زرشکها  $74.28\%$  بود.

### شرایط خشک کردن و انجام آزمایشات

شكل شماتیک خشک کن و ابزار اندازه گیری در مقاله سینتیک خشک شدن گردو (*Juglans regia L.*) در مدت زمان خشک شدن با هوای داغ شرح شده است.

### ملاحظات تئوری

متحنی های خشک شدن با پنج مدل متفاوت رطوبت نسبی که در جدول ۱ گزارش شده، برازش شدند.

رطوبت نسبی زرشکها در طول خشک کردن با استفاده از فرمول (۱) محاسبه شد:

$$MR = \frac{M_t - M_e}{M_o - M_e} \quad (1)$$

که در آن  $MR$  رطوبت نسبی (بی بعد)،  $M_t$  محتوی رطوبت در هر لحظه (کیلوگرم آب/کیلوگرم ماده جامد)،  $M_e$  محتوی رطوبت تعادلی (کیلوگرم آب/کیلوگرم ماده جامد) و  $M_o$  محتوی رطوبت اولیه (کیلوگرم آب/کیلوگرم ماده جامد). مقدار  $M_t$  در مقایسه با  $M_e$  و  $M_o$  کوچک بوده، لذا خطای ناشی از در نظر نگرفت آن جزئی است [۱۲].



جدول ۱ - مدل های مورد استفاده برای برآش داده های تجربی

$MR = \exp(-kt)$	مدل لوئیس [۸ و ۱۳].
$MR = a \exp(-kt)$	مدل هندرسون و پایس [۱۴ و ۵].
$MR = \exp(-kt^{\alpha})$	مدل پیچ [۱۵].
$MR = a \exp(-kt) + (1-a)\exp(-kb\theta)$	مدل لگاریتمی [۱۶].
$MR = a \exp(-kt/l^2)$	مدل دیفیوژن تقریبی [۱۷ و ۶].

سه معیار برای تعیین بهترین برآش استفاده شد، ضریب همبستگی  $R^2$ ، چی دو کاهشی  $\chi^2$  و RMSE.

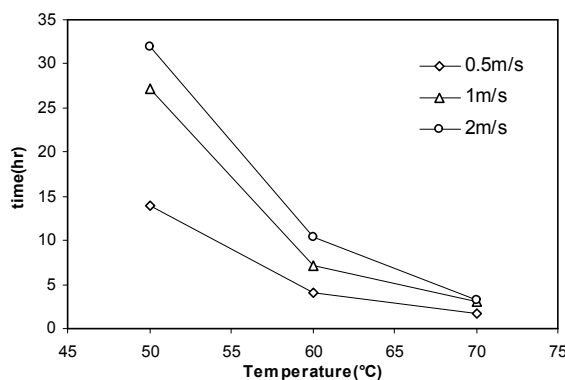
$$\chi^2 = \sum_{i=1}^N \frac{(MR_{\text{exp},i} - MR_{\text{pre},i})^2}{N-m} \quad (8)$$

$$RMSE = \left( \frac{1}{N} \sum_{i=1}^N (MR_{\text{pre},i} - MR_{\text{exp},i})^2 \right)^{\frac{1}{2}} \quad (9)$$

که  $MR_{\text{exp},i}$  رطوبت نسبی آزمایشگاهی  $i$ ام،  $MR_{\text{pre},i}$  رطوبت نسبی پیشگوئی شده  $i$ ام،  $N$  تعداد مشاهدات و  $m$  تعداد ثابت‌های خشک شدن. بهترین برآشی که می‌تواند خصوصیات خشک شدن گردو را توصیف کند با توجه به ضریب همبستگی  $R^2$  بالا، چی دو کاهشی  $\chi^2$  و RMSE پایین انتخاب شد. برای محاسبه تاثیرات متغیرهای خشک کردن روی ثابت‌های مدل پیچ، ثابتها در مقابل دمای هوا و سرعت هوای داغ با استفاده از رگرسیون غیر خطی برآش شده اند. تمام حالات ممکن از متغیرهای خشک شدن در نظر گرفته شد و مورد تست رگرسیونی قرار گرفت.

### نتایج و بحث

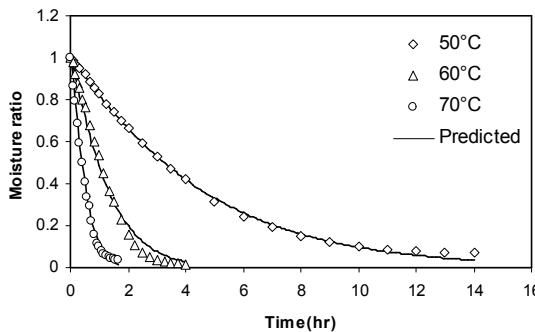
شکل (۱) زمان کلی خشک شدن در مقابل دما در سرعتهای ثابت را نشان می‌دهد. در سرعت های پایین تر، مدت زمان کل خشک شدن کمتر است. در سرعت ۲ متر بر ثانیه ۲ تا ۲,۵ برابر بزرگتر از مدت زمان مورد نیاز برای خشک شدن در سرعت ۰,۵ متر بر ثانیه است (در دمای ثابت). در حالیکه زمان کل خشک شدن در سرعت ثابت و در محدوده دمایی ۵۰ تا ۷۰ درجه سانتیگراد ۱۰ برابر افزایش می‌یابد. به عبارتی، تاثیر دما در مقایسه با اثر سرعت روی زمان خشک شدن لایه نازک زرشک معنی دار تر بوده است.



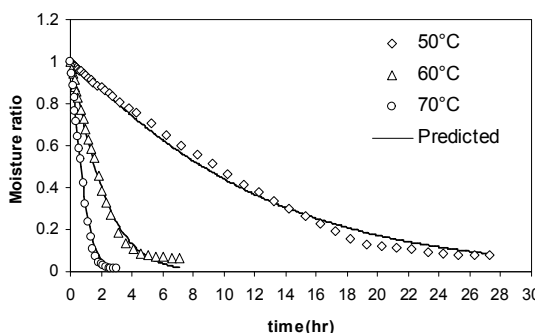
شکل ۱. زمان نهایی خشک شدن در مقابل دمای های مختلف در سرعتهای ثابت



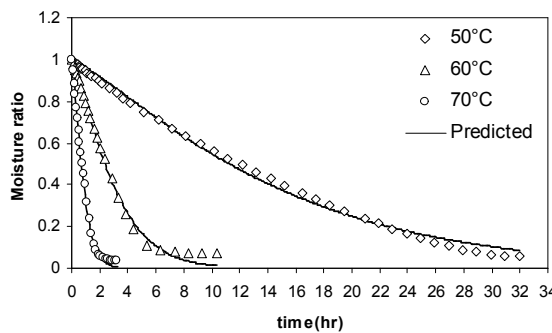
اشکال ۲ تا ۴ منحنی های خشک شدن زرشک در دماهای متفاوت و سرعت ثابت را نشان می دهند. عمدۀ مواد جامد قابل حل زرشک کربوهیدرات است به همین دلیل رطوبت اولیه آن زیاد می باشد. آب موجود در میوه ها به دو صورت جذب سطحی و جذب شیمیایی وجود دارد. عمدۀ رطوبت زرشک به صورت جذب سطحی است، پس انرژی کمی برای تبخیر آب آن مورد نیاز است.



شکل ۲. منحنی های خشک شدن لایه نازک زرشک در دماهای مختلف و خطوط پیشگوئی شده توسط مدل پیج سرعت ۰.۵ متر بر ثانیه



شکل ۳. منحنی های خشک شدن لایه نازک زرشک در دماهای مختلف و خطوط پیشگوئی شده توسط مدل پیج سرعت ۱ متر بر ثانیه



شکل ۴. منحنی های خشک شدن لایه نازک زرشک در دماهای مختلف و خطوط پیشگوئی شده توسط مدل پیج سرعت ۲ متر بر ثانیه



در پروسه خشک کردن، انتقال جرم داخلی با پخش مایع، بخار و نیروهای کاپیلاری در محصول همراه است و آب موقع رسیدن به سطح تبخیر می شود. وقتی که رطوبت زرشک بالا بشد کاهش رطوبت دارای حرکت کاپیلاری است. کاهش رطوبت بوسیله نیروهای کاپیلاری اتفاق می افتد. تبخیر رطوبت آزاد از سطح میوه با پیشرفت پروسه خشک کردن بیشتر می شود، بنابر این با اتمام رطوبت چروکیدگی اتفاق می افتد. با گذشت زمان منافذ و فضاهای آزاد، آب خود را از دست داده و نسبت مواد جامد در میوه افزایش می یابد، در نتیجه نرخ کاهش رطوبت و انتقال حرارت به طور معنی داری کاهش می یابد.

در شروع پروسه خشک کردن، رطوبت اولیه محصول زیاد بوده و نرخ از دست دادن رطوبت زیاد است، بدینجای با پیشرفت زمان محتوی رطوبت محصول به طور طبیعی کاهش پیدا کرده و نرخ کاهش رطوبت به طور طبیعی کاهش می یابد. محصول عمده رطوبت خود را در لحظات اولیه پروسه خشک کردن از دست می دهد و زمان زیادی برای از دست دادن رطوبت باقیمانده لازم است. تحلیل رگرسیونی چند متغیره در محیط نرم افزار MATLAB انجام شد. جدول ۲-۴ نتایج برآذش ( $R^*$  و  $\chi^*$ ) مشخص شد. مدلهای ذکر شده با استفاده از داده های آزمایشگاهی را نشان می دهد. بهترین مدلی که می تواند سیستمیک خشک شدن زرشک را توصیف کند با توجه به بیشترین مقدار میانگین  $R^*$  و کمترین مقادیر میانگین  $\chi^*$  و  $RMSE$  انتخاب شد. با مقایسه  $R^*$  و  $RMSE$  مشخص شد. مدل پیچ بهترین مدل برای توصیف داده های آزمایشگاهی است.

جدول ۲.۲  $R^*$  و  $\chi^*$  برای ۰.۵ متر بر ثانیه

مدل	۵۰ درجه سانتیگراد						۶۰ درجه سانتیگراد						۷۰ درجه سانتیگراد					
	RMSE	$\chi^*$	$R^*$	RMSE	$\chi^*$	$R^*$	RMSE	$\chi^*$	$R^*$	RMSE	$\chi^*$	$R^*$	RMSE	$\chi^*$	$R^*$	RMSE	$\chi^*$	$R^*$
لوئیس	۰,۰۳۹۳	$1,00 \times 10^{-3}$	۰,۹۸۴	۰,۰۵۸۴	$5,9 \times 10^{-4}$	۰,۹۷۴۴	۰,۰۱۷۷	$6,91 \times 10^{-5}$	۰,۹۹۷۴	۰,۰۱۶۲	$2,8 \times 10^{-5}$	۰,۹۹۷۴	۰,۰۱۱۴۸	$1,17 \times 10^{-5}$	۰,۹۹۸	۰,۰۱۶۲	$2,8 \times 10^{-5}$	۰,۹۹۷۴
پیچ	۰,۰۳۵۲	$6,17 \times 10^{-5}$	۰,۹۸۷۸	۰,۰۴۷۲	$2,04 \times 10^{-5}$	۰,۹۸۳	۰,۰۱۴۰	$2,64 \times 10^{-5}$	۰,۹۹۸۰	۰,۰۳۵۲	$6,01 \times 10^{-5}$	۰,۹۸۷۸	۰,۰۱۴۰	$2,75 \times 10^{-5}$	۰,۹۹۸۰	۰,۰۳۵۲	$6,01 \times 10^{-5}$	۰,۹۹۸۰
هندرسون و پایس	۰,۰۲۸۹	$2,64 \times 10^{-5}$	۰,۹۹	۰,۰۳۷۶	$9,29 \times 10^{-5}$	۰,۹۹۰۳	۰,۰۱۶۸	$5,2 \times 10^{-5}$	۰,۹۹۷۸	۰,۰۲۸۹	$2,64 \times 10^{-5}$	۰,۹۹	۰,۰۱۶۸	$5,2 \times 10^{-5}$	۰,۹۹۷۸	۰,۰۲۸۹	$2,64 \times 10^{-5}$	۰,۹۹۷۸
لگاریتمی																		
دیفیوژن تقریبی																		

جدول ۲.۳  $R^*$  و  $\chi^*$  برای ۱ متر بر ثانیه

مدل	۵۰ درجه سانتیگراد						۶۰ درجه سانتیگراد						۷۰ درجه سانتیگراد					
	RMSE	$\chi^*$	$R^*$	RMSE	$\chi^*$	$R^*$	RMSE	$\chi^*$	$R^*$	RMSE	$\chi^*$	$R^*$	RMSE	$\chi^*$	$R^*$	RMSE	$\chi^*$	$R^*$
لوئیس	۰,۰۰۵۸	$6,47 \times 10^{-5}$	۰,۹	۰,۰۳۸	$8,07 \times 10^{-5}$	۰,۹۹۰۳	۰,۰۱۷۷	$6,91 \times 10^{-5}$	۰,۹۸۸۵	۰,۰۱۹۳	$7,77 \times 10^{-5}$	۰,۹	۰,۰۲۲۹	$1,7 \times 10^{-5}$	۰,۹۹۰	۰,۰۱۹۳	$7,77 \times 10^{-5}$	۰,۹۹۰
پیچ	۰,۰۰۵۰۲	$3,07 \times 10^{-5}$	۰,۹۸۱	۰,۰۳۰	$5,46 \times 10^{-5}$	۰,۹	۰,۰۲۴۶	$7,47 \times 10^{-5}$	۰,۹۹۰	۰,۰۰۵۰۲	$3,07 \times 10^{-5}$	۰,۹۸۱	۰,۰۳۰	$5,46 \times 10^{-5}$	۰,۹	۰,۰۲۴۶	$7,47 \times 10^{-5}$	۰,۹۹۰
هندرسون و پایس																		
لگاریتمی																		
دیفیوژن تقریبی																		

جدول ۲.۴  $R^*$  و  $\chi^*$  برای ۰.۵ متر بر ثانیه

مدل	۵۰ درجه سانتیگراد						۶۰ درجه سانتیگراد						۷۰ درجه سانتیگراد					
	RMSE	$\chi^*$	$R^*$	RMSE	$\chi^*$	$R^*$	RMSE	$\chi^*$	$R^*$	RMSE	$\chi^*$	$R^*$	RMSE	$\chi^*$	$R^*$	RMSE	$\chi^*$	$R^*$
لوئیس	۰,۰۴۸۹	$3,7 \times 10^{-5}$	۰,۹۷۸	۰,۰۴۴۷	$2,59 \times 10^{-5}$	۰,۹۸۲۶	۰,۰۳۶۹	$4,1 \times 10^{-5}$	۰,۹۸۸۴	۰,۰۱۷۱	$5,3 \times 10^{-5}$	۰,۹۹۷۳	۰,۰۲۲۶	$1,9 \times 10^{-5}$	۰,۹۹۰۵	۰,۰۲۲۲	$5,38 \times 10^{-5}$	۰,۹۹۰۸
پیچ	۰,۰۴۱۰	$1,7 \times 10^{-5}$	۰,۹	۰,۰۳۸۶	$1,38 \times 10^{-5}$	۰,۹۸۸	۰,۰۳۰۵	$2,0 \times 10^{-5}$	۰,۹۸۹۵	۰,۰۴۱۰	$1,84 \times 10^{-5}$	۰,۹۸۰	۰,۰۳۸۶	$1,44 \times 10^{-5}$	۰,۹	۰,۰۳۵۵	$2,6 \times 10^{-5}$	۰,۹۸۹۵
هندرسون و پایس																		
لگاریتمی																		
دیفیوژن تقریبی																		



ثابت‌های مدل پیج در جدول ۵ گزارش شده اند. در تمام آزمایشات مدل پیج همچواني خوبی برای منحنی خشک شدن زرشک به روش لایه نازک داشت. مقادیر  $R^2$  و  $RMSE$  برای مدل پیج به ترتیب بین  $0.9989 - 0.9915$  و  $1.17 \times 10^{-5} - 1.95 \times 10^{-5}$  و  $0.0334 - 0.114$  قرار داشت.

جدول ۵. ثابت‌های مدل پیج برای آزمایشات مختلف

۲ متر بر ثانیه		۱ متر بر ثانیه		۰.۵ متر بر ثانیه		سرعت
n	k	n	k	n	k	دما
۱,۲۰۹	۰.۰۳۷۲	۱,۱۰۰	۰.۰۶۵۰	۱,۰۷۹	۰.۱۹۴۴	۵۰ درجه سانتیگراد
۱,۲۶۵	۰.۲۳۲۸	۱,۱۶۲	۰.۴۰۳۸	۱,۱۶۰	۰.۷۲۳۱	۶۰ درجه سانتیگراد
۱,۳۲۸	۱.۰۵۴۰	۱,۳۰۱	۱.۱۶۳۰	۱,۲۸۵	۲.۱۷۵۰	۷۰ درجه سانتیگراد

رابطه ای بین ثابت‌های مدل پیج، سرعت و دمای هوای داغ با استفاده از رگرسیون چند متغیره برقرار شد. معادله و  $R^2$  مربوطه در زیر گزارش شده است. تحلیل رگرسیونی این پارامترها در سطح ۱٪ درصد معنی دار بود.

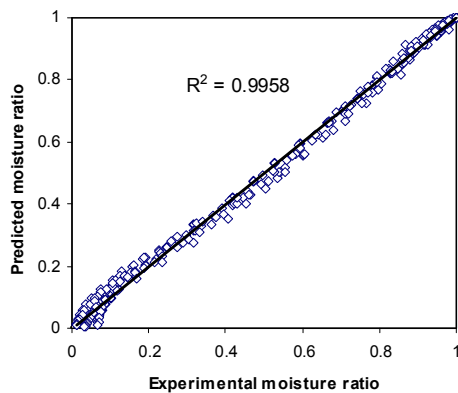
$$k = 2.497 \cdot 10^{20} V^{-0.8442} \exp\left(-\frac{15977.3}{T_{abs}}\right) \quad R^2 = 0.9874$$

$$n = 13.45V^{0.0561} \exp\left(-\frac{802.5}{T_{abs}}\right) \quad R^2 = 0.9497$$

در نتیجه، معادله زیر برای خشک کردن لایه نازک زرشک بدست مده:

$$MR = f(t, T, V) = \exp(2.497 \cdot 10^{20} V^{-0.8442} \exp\left(-\frac{15977.3}{T_{abs}}\right)t^{13.45V^{0.0561} \exp\left(-\frac{802.5}{T_{abs}}\right)})$$

شکل ۵ نتایج داده های آزمایشگاهی در مقابل داده های پیشگوئی شده با استفاده از مدل پیج را نشان می دهد. تمرکز داده ها در کنار خط ۴۵ درجه قدرت مدل پیج برای پیشگوئی منحنی خشک شدن لایه نازک زرشک را نشان می دهد.



شکل ۵. داده های پیشگوئی شده رطوبت نسبی با مدل پیج در مقابل داده های آزمایشگاهی برای خشک شدن لایه نازک زرشک در دماهای مختلف

شکل ۶ (سمت چپ) زرشکهای خشک شده با استفاده از خشک کن آزمایشگاهی هوای داغ (در دمای ۰ درجه سانتیگراد و سرعت ۰ متر بر ثانیه) را نشان می دهد. همچنین شکل ۶ (سمت راست) زرشکهای خشک شده با استفاده از نور خورشید را نشان می دهد.



شکل ۶ مقایسه زرشکهای خشک شده با استفاده از نور خورشید و خشک کن آزمایشگاهی

### نتیجه گیری

منحنی نرخ تبخیر زرشک در مرحله نزولی انفاق می افتد. در مقایسه با سرعت، دما روی زمان خشک شدن تاثیر معنی دارتری دارد. با افزایش سرعت هوا در یک دمای ثابت، زمان خشک شدن طولانی تر می گردد. مدل پیچ بهترین برآنش برای داده های ازمایشگاهی با توجه  $R^2$  و  $RMSE$  داشت. رنگ و شکل طبیعی زرشک تا حد زیادی در خشک کن آزمایشگاهی حفظ شده است. در محتوی رطوبتی اولیه بالا اگر جهت هوا خلاف جهت ورود محصول باشد، سخت شدن پوسته محصول خواهد افتاد. برای بدست آوردن محصول مطلوب باید رطوبت آزاد به طور کامل و مقداری از آب کاپیلاری از میوه خارج شود. راحت ترین روش برای رسیدن به این هدف کاهش فشار بخار در اطراف میوه در یک خشک ن و دور کردن رطوبت از سطح محصول است. این عمل با استفاده از دما و سرعت مناسب انجام می گیرد.

منابع:

[۱]. م. کافی و احمد بالندری، ۱۳۸۱. زرشک تولید و فن آوری. انتشارات دانشگاه فردوسی مشهد.

- [۲] DUKE, J.A. 1991. Handbook of Medicinal Herbs, 8th Ed., CRC Press, Inc., Boca Raton, FL.
- [۳] XIA, B. and SUN, D.W. 2002. Application of computational fluid dynamics (CFD) in the food industry: a review. Com. and Elec. in Agri. 34, 5–24.
- [۴] CHAKRAVERTY, A. and SINGH, R.P, 1988. Post harvest Technology of Cereals, Pulses and Oilseeds. OXFORD and IBH PUBLISHING CO. PVT. LTD. New Delhi.
- [۵] LAHSASNI, S., KOUHILA, M., MAHROUZ, M., AIT MOHAMED, L. and AGORRAM, B. 2004. Characteristic drying curve and mathematical modeling of thin-layer solar drying of Prickly pear cladode (*opuntia ficus indica*). J. Food Pro Eng. 27(2), 103–117.
- [۶] BAKARI, H.H. and HOBANI, A.I. 2000. Thin-layer drying of dates. J. Food Pro Eng. 23(3), 177–189.
- [۷] GOYAL, R.K., KINGSLY, A.R.P., MANIKANTANL, M.R. and ILYAS, S.M. 2006. Thin-layer Drying Kinetics of Raw Mango Slices. Bio. Eng. 95(1), 43–49.
- [۸] BABALIS, S. J., PAPANICOLAOU, E., KYRIAKIS, N. and BELESSIOTIS, V.G. 2005. Evaluation of thin-layer drying models for describing drying kinetics of figs (*Ficus Carica*). J. Food. Eng. 75, 205–214.



- [۱] AKPINAR, E., MIDILLI, A. and BICER, Y. 2003. Single layer drying behavior of potato slices in a convective cyclone and mathematical modeling. *J. Ene. con. and man.* 44, 1689–1705.
- [۲] AL-MAHASNEH, M.A., RABABAH, T.M., AL-SHBOOL, M.A. and Yang, W. 2007. Thin-layer drying kinetics of Sesame hulls under forced convection open sun drying. *J. Food Pro Eng.* 30(3), 324–337.
- [۳] ING, P.P., TASRIAN, S.M. and LAW, C.L. 2006. Thin layer method analysis of spouted bed dried Malaysian paddy characteristic drying curves. *J. Food Pro Eng.* 29(4), 414–428.
- [۴] DIAMANTE, L.M. and MUNRO, P.A. 1991. Mathematical modelling of the thin layer solar drying of sweet potato slices. *Solar Energy*, 51, 271–276.
- [۵] LEWIS, W. K. 1921. The rate of drying of soild materials. *Ind. Eng. Chem.* 13, 427–432.
- [۶] HENDERSON, S.M. and PABIS, S. 1961. Grain drying theory. 1. temperature affection drying coefficient. *J. Agr. Eng. Res.* 6, 169–170.
- [۷] PAGE, G.E. 1949. Factors influencing the maximum rates of air drying shelled corn in thin layers. *M. Sc. Thesis, Purdue University.*
- [۸] TOGRUL, I.T. and PEHLIVAN, D. 2004. Modelling of thin-layer drying kinetics of some fruits under open-air sun drying process. *J. Food Eng.* 65(3), 413–425.
- [۹] YALDIZ, O., ERTEKIN, C. and UZUN, H.I. 2001. Mathematical modeling of thin layer solar drying of sultana grapes. *Energy*. 26, 457–465.



## EVALUATION OF THIN-LAYER DRYING MODELS FOR DESCRIBING DRYING KINETICS OF BARBERRIES (*BARBERRIES VULGARIS*)

M. Aghbashlo, M. H. Kianmehr, A. Arabhosseini, H. Mehravar, H. Samimi

Department of Agricultural Technical Engineering, Faculty of Agricultural Engineering, Aboreyhan Campus, University of Tehran, Tehran, Iran.

E.mail: [maghbashlo@ut.ac.ir](mailto:maghbashlo@ut.ac.ir), [mortazaaghbashlo@yahoo.com](mailto:mortazaaghbashlo@yahoo.com)

### ABSTRACT

Barberry is known as a medicinal and ornamental plant throughout the world. Edible fruit from the barberry is used in medicine to treat liver, neck and stomach cancer, for purification of the blood and for breath freshness. In order to assess and select a suitable form of the drying curve, six different semi-theoretical and/or empirical models were fitted to the experimental data. Experiments were performed at air temperatures of 50, 60 and 70 C. At each temperature, three air velocity values were selected: 0.5, 1 and 2 m/s. Consequently, of all the drying models, the Page model was selected as the best mathematical model according to  $R^2$ ,  $\chi^2$  and RMSE parameters. Constants related to the Page model are reported and regressed against air condition using multiple regression analysis.